

Hg - 800000000

onsaneca 2466

1929

Hg₂⁺

Wieland R.

HgBr₂

HgCl₂

Helv. Phys. Acta, 1929,
2, 46.-

census



V 1630

1942

HgClBr, HgBrI, HgClI (ω)

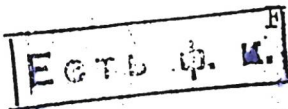
Muller P.

Halv. Phys. Acta 1942, 15, 233-58

Electronic band spectra of triatomic linear
asymmetric molecules.

CA, 1942, 6901

J.



Берег. W. Klemperer, G. Lindemann 1956
J. Chem. Phys., 25, №3, 391.

Инерционастичен метод

Ходжесъ и Шолмезъ

показъ.

HgX₂

Allen T.A.

1957

J. Chem. Phys.,

26, 1645

Heppenstall cheese & mao-
re sugar nepx. metansab.

(Cet. ZnX₂)^{III}

1959

HgX₂

Аксенов Г. А., Смирновов В. Н.,

X-F, Cl, Br, I

Хегешков А. Н.,

Докт. р. х., 1959, 33, 20.

Зависимость разрывной силы
сварки от содержания цинка.

IX. Равномерное сжатие ванадиев
присыпки

306B-VI

1963

Hg Br₂Hg Cl₂Hg Br Cl₂4 (v_i, симметрическое колебание)

Tamm B. Z., James D. W.

ЕСТЬ ОРИГИНАЛ!

J. Chem. Phys., 1963, 38, n 4, 902 - 905 (астр.).

Vibrational spectra of molten halides

of mercury.

I. Mercuric

chloride, mercuric

bromide, and mercuric bromide, and mercuric chlorobromide.

Proc. Phys., 1963, 110 297

MgClBr

MgBrI

спектр.

Nagarajan G.

Z. phys. Chem. (DDR),
224, n 3-4, 256.

№

Б99-3488

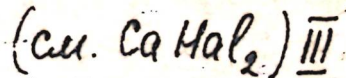
Спектр ассоциированных ко-
мбинаций и первичн. ф-ции
межатомных линий при ско-
лекции  типа YXZ.

M - 1561

III (ак. LaCl₂)

Hg Hal ₂	Борисов О.Н.; Мейкина Н.Е. 1964	
(Hal) =	К. структуре химии	198
= F, Cl, Br, I.	1964, 5, N3, 451-4	

Соединение на основе
антидегидратных
галогенитов II группы
второго периода синтезировано



1964

Hg X₂

амплитуды
колебаний

Сювин

1 Д44. Средние амплитуды колебаний дигалогенидов Hg, Be и Mg. Nagarajan G. Mean amplitudes of vibration for the dihalides of mercury, beryllium and magnesium. «Acta phys. austriaca», 1964, 17, № 3, 246—253 (англ.)

Краткий обзор эксперим. исследования и расчета силовых постоянных основных колебаний дигалогенидов Hg, Be и Mg. Силовые постоянные, необходимые для расчета средних амплитуд колебаний, вычислялись методом Вильсона. Средние амплитуды колебаний рассчитывались по методу, предложенному Сювином, с помощью Σ - и G -матриц. Рассчитаны симметризованные матрицы среднеквадратичных амплитуд, численные значения двух среднеквадратичных амплитуд, значения собственных среднеквадратичных амплитуд и средних амплитуд колебаний как для связанных, так и несвязанных пар атомов для десяти дигалогенидов Hg, Be и Mg при т-рах 0—298° К. Результаты табулированы. Лучшая точность вычислений получена для колебаний с частотой в интервале 200—1200 см⁻¹. В. Зубов

БР - 34/85 - VI

(X)

р. 1965. 18

Bullock's
Hg, Be, Mg

Bp - 3485-VI

1964

Mean amplitudes of vibration for the dihalides of Hg, Be, and Mg. G. Nagarajan (Oklahoma State Univ., Stillwater). *Acta Phys. Austriaca* 17(3), 246-53(1964)(in English). Force consts. were calcd. by the FG matrix method for the dihalides of Hg, Be, and Mg and compared with the previously reported values. Mean-sq. amplitude quantities, generalized mean-sq. amplitudes (mean-sq. parallel amplitudes, mean-sq. perpendicular amplitudes, and mean cross products), and mean amplitudes of vibration for the bonded and nonbonded atom pairs were calcd. at $T = 0$ and $T = 298^{\circ}\text{K}$. Critical analyses of the results were made.

G. Nagarajan

3485

C. A. 1964 Cl NS 50% d.



Hg Hal₂

cp. uBaep. Am.
Notes

Nagarajan et.

1964

J. Mol. Spectry, 13(4), 381

Mean amplitudes of vibration and Bastiansen-Morino shrinkage effect in some linear symmetrical metal dihalides.

(Acc. Fe Habs₂) III

1887

Hg₂X₂X = Cl, F, Br,
J

22 Б173. Частоты валентных колебаний Hg—Hg и длины связей в соединениях ртути. S t a m m g e i c h H., Sans T. Teixeira. Hg—Hg stretching frequencies and bond lengths in mercurous compounds. «J. Molec. Struct.», 1967, 1, № 1, 55—60 (англ.)

Частоты вал. кол. ν (Hg—Hg) в соединениях Hg₂X₂, (X=Cl, F, Br, J) сопоставлены с длинами связей Hg—Hg; найдено, что зависимость между ними хорошо описывается правилом Бэджера. Приведены также значения ν (Hg—Hg) в спектрах $\text{Hg}_2(\text{ClO}_4)_2 \cdot 4\text{H}_2\text{O}$ и его водного р-ра, $\text{Hg}_2(\text{NO}_3)_2 \cdot 2\text{H}_2\text{O}$ и его водного р-ра, Hg_2SO_4 и Hg_2CO_3 .

Р. Ф.

Х. 1968 · 22

Pmnoptague, Spiromagnet, Ugandite Bélyi, Zn
Id, Hg, Ti, V, Cr, Mn, Fe, Co, Ni, Cu, HgClBr,
HgBrI (Cust. noči. Среднереконструкц. анна. Кауда-
хин) vI 6991. 1968

CyNih S.J., Vizi B., Veszpremi Vegyip.
Ügyet. Kozlem., 1968, 11 (1), 83-9
Mean amplitudes and shrinkage
effects of vibration for some linear.

Hg - Hal

ceeküp KP

Beattie J.R.
Morder J.R.

1970

J. Chem. Soc., A(14),
2433.

(cu. GaCl_2) $\overline{\underline{\text{II}}}$

1970

Hollaly

Vendline E.,
Mahmoudi S.

Hal = H, Cl, Br, I

C. R. Acad. Sci.

Clust. n.

Ser. C, 1970, 241, 1, 5-8

(Ces. Cl_{IV})^{III}

BP-III-257

1444

Hg-Hal

Macaque A.A. upp.

Hal-cucurbita

Nature (London),

Phys. Sci., 1941, 231,

24, 15%

(Cet. $HgCl_2$) II

Hg-Hal. Самиванов Т. К. 1972

Заваленчик Н. Н., Маркелов А. А.

(Vi)

"Вестн. Моск. Ун-та";
1972, № 6, 712-13.

1972, 13, № 6, 712-13.



(ces. Zn-Hal; III)

1872

HgX₂X = Cl, Br, IJ. P. checked
no entry.

40915y Ultraviolet absorption spectra of mercuric halides. Templet, P.; McDonald, J. R.; McGlynn, S. P.; Kendrow, C. H.; Roebber, J. L.; Wiess, K. (Coates Chem. Lab., Louisiana State Univ., Baton Rouge, La.). *J. Chem. Phys.* 1972, 56(11), 5746 (Eng). Uv absorption bands, similar to those reported by I. Eliezer and P. Avinur (1971) as due to intermol. charge-transfer transitions between Hg^{2+} halides and aromatic solvent mols., were obsd. in the gas-phase spectra of the HgX_2 alone ($X = \text{Cl}, \text{Br}, \text{I}$) and suggest that the bands in both soln. and gas-phase spectra are due to intramol. charge transfer. The transition energies of corresponding bands followed the order of the halogen atom and mol. ionization potentials. The transitions were more energetic in polar than in nonpolar solvents. Extended Hueckel-type MO calcns. predicted that these transitions involve substantial charge transfer from halogen to Hg.

C.A. 1972 • 77 • 6

30420.8703

TE, Ch, Ph

Hg_2X_2 $X = Cl, Br, I$

56004

15-230

Rogstad Astri.

Single-crystal Raman spectra of mercurous bromide, mercurous iodide, and mercuric iodide.

"Acta chem. scand.", 1973, 27, N 1,

57-62

(англ.)

0856 ник

844 845 846 847 848 849

ВИНИТИ

40124.4510

TE, Ch, Ph

 HgF_2 ; $HgCl_2$; HgI_2 40892 $HgBr_2$

1973

1727

Ray N.K., Parr Robert G. Simple bond-charge model for bending force constants of linear symmetric triatomic molecules.

"J. Chem. Phys.", 1973, 59, N 8, 3934-

-3936

(англ.)

0029 мкн^{-1}

015 016

022

ВИНИТИ

1974

Mg X₂

X- газорез

Теоретические представления
 автора о фотоэлектронных спектрах
 спектр загадка газидных соединений
 элементов групп II B.
 малой орбиты. Cusachs Y. C.

"Electron Spectrosc. and
 Relat Phenom" 1974, 3,
 N3, 229-31 (авт.)

Ф. 1974. №

χ -газорез. / all Zn X₂; $\overline{m_{\text{ax}}}$ / 247

Hg - 2a uorengugl

1975

enermper

Evans S., Gribble A. F.,
J. Electron. Spectrosc. and
Relat. Phenom., 1975, 6(3),
207-213.

(cur. Tl-2a.007; III)

50721.6720

 MX^{Ch} , MX_3^{TC} , MX_4^2-

96615 (см. под)
 Hg-галогены
 Zалог = Cl, Br, I, X15-9484

1975

Muthukumar M., Kalarickal Sebastian,
 Pandian S.J. Molecular force and compli-
 ance constants for some metal-halogen
 bonds in complexes. "J. Mol. Struct.",

1975, 27, N 1, 117-122 (см Zn-галоген, II)
 (Франц., рез. англ.)

382 383

106

0515 ПМК

ВИНИТИ

60324.9418

Ch, TC, Ph, MGU

 $HgCl_4^{2-}$ HgI_4^{2-} , $HgBr_4^{2-}$

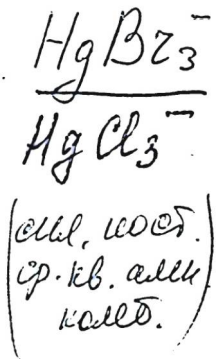
1975

3976

Sanyal, Nitish K., Goel R.K., Pandey
 A.N. Intramolecular force-fields and mean amplitudes of vibration of tetrahedral tetrahalogeno complexes of IIb group metals. "Indian J. Pure and Appl. Phys.", 1975, 13, N 6, 373-376 (анgl.)

565 565 577

ВИНИТИ



1975

Sauyal N.K., et al.

Jedrzej J. Phys., 1975,
49, N7, 546-9.

HgX₂

4 Б218. Спектры комбинационного рассеяния бинарных и смешанных дигалогенидов кадмия и ртути, изолированных в матрице. Loewenschuss A., Givan A., Strell A. Raman spectra of matrix isolated binary and mixed dihalides of cadmium and mercury. «Proc. 5th Int. Conf. Raman Spectrosc., Freiburg, 1976». Freiburg — Breisgau, 1976, 98—99 (англ.).

1876

X-24.007

Измерены спектры КР и рассчитаны силовые постоянные молекул $\underline{\text{HgX}_2}$, $\underline{\text{CdX}_2}$, $\underline{\text{HgXY}}$, $\underline{\text{CdXY}}$ ($\text{X}, \text{Y} = \text{Cl}, \text{Br}, \text{J}$), изолированных в матрице. Благодаря использованию грифельного монохроматора, получены спектры КР в низкочастотной области и разрешена изотопная структура полос (^{35}Cl , ^{37}Cl , ^{79}Br , ^{81}Br). Значения f_r и f_{rr} (мдин/А) для CdCl_2 — 2,24; 0,0; CdBr_2 — 2,02; 0,04; CdJ_2 — 1,73; 0,047; HgCl_2 — 2,596; 0,057; HgBr_2 — 2,308; 0,057; HgJ_2 — 1,935; 0,069. Значения K_α (мдин/А) HgCl_2 — 0,089, HgBr_2 — 0,070, HgJ_2 — 0,065. Приведены также данные по силовым постоянным смешанных галогенидов кадмия и ртути. Предположено, что для наиболее тяжелых молекул возможно небольшое отклонение от линейной структуры.

В. М. Ковба

(+) CdX_2

X-24.007.



X. 1877. N 4

HgXY ($X, Y = Cl, Br, I$) 1976-15301

HgX₂

1976: 151384j The infrared and Raman spectra of matrix isolated binary and mixed mercury halides. II. Extension to low frequencies. Givan, A.; Loewenschuss, A. (Dep. Inorg. Anal. Chem., Hebrew Univ., Jerusalem, Israel). *J. Chem. Phys.* 1976, 65(5), 1851-3 (Eng). The vibrational investigation of all matrix isolated HgX₂ and HgXY ($X, Y = Cl, Br, I$) mols. was extended to the bending mode region. The use of an auxiliary 3rd monochromator (TTM) in Raman expts. reduced background scattering down to low frequencies, previously inaccessible. All ν_2 frequencies are reported, std. entropies evaluated, and bending force consts. calcd. The possibility of slightly bent structures, esp. for HgBrI, as formerly discussed on the basis of stretching force const. trends, is reinforced. Irregularities in relative intensities of the stretching mode bands of the mixed dihalides are interpreted in terms of differences in electroneg. of the halogens. Several observations are also made on nonmonomeric bands.

C.A. 1976, 85 N 20

HgCl₃⁻ Paudel A. N., 1976
HgBr₃⁻ Goel R. K.,
C.M. Indian J. Chem. Sect. A
no. 1976, 14A(12), 1004-8

C.A. 1977. 84. n2



III

Cu ZnCl₃⁻

HgClF ommeen 5942 1977
HgBrF Loewenschuss A., et al
Hg YF Int. Conf. Matrix Isol.
cud. n.,
8 Spectroscopy. Diskussion-
stag. Dtsch. Bunsinges. Phys.
Chem. West-Berlin, 1977,
Extended abst., Berlin, s.a.,
154-155

all Zn F₂-III

HgClBr *ommata* 6495 1978

HgCl₂ Y. Iriyan A., et al.

Moselya. *Zoospores*,
Di, C. S., no. 1. 1978, 48, 325-33

Hg BrF
Hg FJ
Hg ClF

Givan A., Hoewenscheus A.¹⁹⁷⁸

J. Chem. Phys., 1978, 68 (12),
5653-4.

U.K., СКР
спектр в
масштабе

ав. ZnClF ; III

HgX₂
X-ray
CKP

Drake M. C., Rosenblatt G. M.,
1979
Raman spectroscopy in high tem-
perature chemistry.
10th Materials Research Sympo-
sium on characterization of
high temperature, vapors
and gases.
NBS Special Publication 561
Volume 1, 1979, 609-646.
(J Typhlera)

1979

*HgCl₃**HgI₃**HgBr₃**CONFIDENTIAL*

91: 81077j Electronic spectra and geometries of HgX_3^- in water. Griffiths, Trevor R.; Anderson, Richard A. (Dep. Inorg. Struct. Chem., Univ. Leeds, Leeds, Engl.). *J. Chem. Soc., Chem. Commun.* 1979, (2), 61-2 (Eng). The UV spectra of HgX_3^- ($X = \text{Cl}, \text{Br}, \text{I}$) were obtained free from contributions from HgX_2 or HgX_4^{2-} and the bands were assigned. HgCl_3^- is planar with D_{3h} symmetry and HgI_3^- is pyramidal with C_{3v} symmetry, suggesting that the solvated species are the trigonal bipyramidal $[\text{HgCl}_3 \cdot 2\text{H}_2\text{O}]^-$ and the distorted tetrahedral $[\text{HgI}_3 \cdot \text{H}_2\text{O}]^-$. HgBr_3^- has either an intermediate structure, or possibly pyramidal structure with C_{3v} symmetry, with the solvated species having a distorted tetrahedral structure.

(42)



P.H. 1979 Q.D. 110

HgYCl

[ommited 8836]

1979

Hg YBr

Griffiths T.R.; et al.

Hg BrCl

HgCl₂

Inorg. Chem., 1979, 18
(9), 2506-2511

HgXY

X Y - ratios.

2d. spectra

publ. recd.

Hg-галогениды

1979

10 Д178. Анализ нормальных координат и силовых постоянных для X-Hg-CY₃ (X=Cl, Br, J; Y=H, F, Cl). Normal coordinate analysis and force constants for X-Hg-CY₃ (X=Cl, Br, J; Y=H, F, Cl). Hase Yoshiyuki. «An. Acad. brasil. ciênc.», 1979, 51, № 4, 623—627 (англ.)

сил. конст.

J_i, сил. конст.
сил. конст.

Методами молекулярной динамики рассчитаны норм. координаты и силовые постоянные металлоорганич. соединений X-Hg-CY₃, где X=Cl, Br, J и Y=H, F, Cl в предположении, что симметрия молекулярной структуры C_{3v}. По определенным силовым постоянным вычислены частоты норм. колебаний, которые находятся в хорошем согласии с экспериментальными. В. П. Михальченко

φ 1980 n10

HgF

Lommeca 8901

1979

HgCl

Ohwada K.

HgBr

HgI

Spectrochim. acta,
1979, A35, 1353-52

(un. rec.)

HgFCl
HgFBr
HgF γ
H.R. creeper,
catal. no. 200.

Givan L., et al
J. Chem. Phys., 1980,
 $\underline{72}$, N6, 3809-3821.

1980



Ca_nZnF₂; $\bar{\text{II}}$

Онтиаси 9343

1980

HgClBr

HgCl₂

HgBr₂

Д.А.Смир.
спектр.

16 Б194. Электронные спектры смешанных дигалогенидов ртути. Часть 1. Вычислительные методы для расчетов спектров, для нового способа определения констант равновесия и образования, разложенные спектры. Griffiths Trevor R., Anderson Richard A. The electronic spectra of the mixed mercury dihalides. Part 1. Computational procedures for calculating spectra, for a new route to equilibrium and formation constants, and the resolved spectra. «J. Chem. Soc. Dalton Trans.», 1980, № 2, 205—208 (англ.)

Измерены УФ-спектры поглощения водн. р-ров дигалогенидов ртути. Использован спектрофотометр с цифровой формой записи спектра с последующей математич. обработкой (сглаживание) для снижения уровня шумов. Рассмотрены три варианта метода расчета спектров (ε_{ab}) смешанных дигалогенидов HgXY (Z, Y = Cl, Br, I) на основе эксперим. значений коэф. молярного поглощения (ε_a , ε_b), бинарных дигалогенидов HgX₂HgY₂ и наблюдаемого коэф. поглощения (A)

(НГЛ)

Х 1980 N 16

смесей, содержащих HgX_2 , HgY_2 и $HgXY$, к-рые образуются по схемам $HgX_2 + HgY_2 \rightarrow 2HgXY$ и $HgX_2 + Y^- \rightarrow HgXY + Y^-$ (избыток HgX_2). Равновесные конц-ии (C_i) компонент находили путем многократного линейного регрессионного анализа системы ур-ний вида $A(\lambda_n) = \sum_n C_i \varepsilon_i(\lambda_n)$, в к-ром кол-во эксперим. точек λ^n (т. е. ур-ний) брали значительно больше числа компонент смеси ($n \gg i$). Разложение наблюдаемых спектров заключалось в нахождении числа индивидуальных полос, лежащих в исследуемой области спектра (брали вторую и четвертую производную от измеренного спектра), и в определении их параметров (E_{\max} , ε , полуширины осцилляторной силы): В результате разложения найдено, что в спектрах смешанных бинарных дигалогенидов ртути имеется по три полосы, первые две из к-рых близки между собой по интенсивности и на порядок менее интенсивны, чем третья, коротковолновая полоса. Положение максимумов полос (в 10^3 см^{-1}): $HgClBr$ 43,50; 47,40; 57,20; $HgClJ$ 37,80; 46,60; 53,40; $HgBrJ$ 37,80; 43,20; 51,21. В. М. Ковба

1980

*HgCl₂**HgClBr**HgBr₂**Электр. спектр.**V.I.*

8 Д312. Электронные спектры смешанных дигалогенидов ртути. Ч. I. Процедуры расчета спектров, разложение спектральных полос и вычисления констант равновесия и образования. The electronic spectra of the mixed mercury dihalides. Part 1. Computational procedures for calculating spectra, for a new route to equilibrium and formation constants, and the resolved spectra. Griffiths Trevor R., Anderson Richard A. «J. Chem. Soc. Dalton Trans.», 1980, № 2, 205—208 (англ.)

Приведено описание трех альтернативных методов расчета электронных спектров поглощения молекул HgClJ (I), HgBrJ (II) и HgBrCl (III), а также методов разложения сложных перекрывающихся полос на составляющие (в гауссовском приближении). Предложена процедура расчета констант скорости реакций: $HgX_2 + HgY_2 \rightarrow 2HgXY$ (константа равновесия) и $HgX_2 + Y^- \rightarrow HgXY + X^-$ (константа образования). Возможности методов расчета проиллюстрированы на примере интерпретации эксперим. спектров поглощения молекул I, II и III, полученных в области 37 800—57 200 см⁻¹ теми же авторами. Библ. 26.

М. Т.

Д312

Д312

Ф 1980 № 8

МgCl₂
MgBr₂
MgBrCl

отмечена 9342

1980

16 Б195. Электронные спектры смешанных дигалогенидов ртути. Часть 2. Идентификация константы равновесия и образования, отнесение переходов. Griffiths Trevor R., Anderson Richard A. The electronic spectra of the mixed mercury dihalides. Part 2. Identification, equilibrium and formation constants, and assignment of transitions. «J. Chem. Soc. Dalton Trans.», 1980, № 2, 209—215 (англ.)

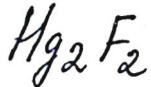
Измерены электронные спектры поглощения водн. р-ров дигалогенидов ртути (чистых и с добавлением

Электронные
спектры

1980 N. 16

перхлората натрия). Из полученных данных найдены константы равновесия обменных реакций $HgX_2 + HgY_2 \rightleftharpoons 2HgXY$ и константы образования реакций замещения $HgX_2 + Y^- \rightarrow HgXY + X^-$. Значения $\lg K_{\text{равн}}$ не зависят от наличия в р-ре $NaClO_4$ и составляют для $HgClJ$ $1,40 \pm 0,15$, $HgBrJ$ $1,26 \pm 0,10$; $HgBrCl$ $0,70 \pm 0,10$. Значения $\lg K_{\text{обр}}$ равны соотв. $0,98 \pm 0,05$; $0,52 \pm 0,09$; $0,23 \pm 0,09$. Обсуждается отнесение полос в спектрах $HgXY$. Проводится корреляция между уровнями энергии молекул HgX_2 и $HgXY$. В спектрах выделены по три полосы, принадлежащие молекулам смешанных дигалогенидов ртути. Два меньших по энергии перехода в $HgBrJ$ и $HgClJ$, имеющие довольно низкую интенсивность, отнесены к запрещенным переходам ' $\Sigma^+ \rightarrow \Delta$ ' (J , Br и J, Cl соотв.). Отсутствие ожидаемого в этой же области разрешенного перехода ' $\Sigma^+ \rightarrow \Sigma^+$ (X)' объясняют близостью состояний ' $\Sigma^+(X)$ ' и ' $\Delta(Y)$ ', связанных спин-орбитальным взаимодействием. Третья, значительно более интенсивная полоса в коротковолновой части спектров отнесена к переходу типа ' $\Sigma^+ \rightarrow \Sigma^+$ (Br и Cl соотв.). Аналогичным образом интерпретирован спектр $HgBrCl$ [переходы ' $\Sigma^+(Br) \rightarrow \Delta(Br)$ ', ' $\Sigma \rightarrow \Delta(Cl)$ ', ' $\Sigma^+(Br) \rightarrow \Sigma^+(Br)$ ']. Сообщ. I см. пред. реферат.

В. М. Ковба



молекул-
лярный
димер

(ε_i)

(+1)
 B

X. 1981 N 9

Этот выпуск 10546 1980

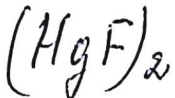
9 Б37. Молекулярное строение галогенидов ртути: Hg_2F_2 и Hg_2Cl_2 . Kleier D. A., Wadt W. R. Molecular structure of mercurous halides: Hg_2F_2 and Hg_2Cl_2 . «J. Amer. Chem. Soc.», 1980, 102, № 23, 6909—6913 (англ.)

Неэмпирическим методом валентных схем («J. Chem. Phys.», 1978, 69, 984) выполнены расчеты электронного и геометрич. строения димерных молекул Hg_2F_2 и Hg_2Cl_2 . Расчеты проведены в двухэкспонентном базисе с учетом поляризац. ф-ций: $[\text{Hg}(3s3p3d), \text{Cl}(3s3p1d), \text{F}(4s5p1d)] \rightarrow [\text{Hg}(2s2p2d), \text{Cl}(2s2p1d), \text{F}(2s2p1d)]$, а для атомов галогенов введена дополнительная p -ф-ция для описания отриц. иона с экспонентами 0,074 (F) и 0,049 (Cl). Для атома Hg использован релятивистский эффективный потенциал остова, а для атомов галогенов нерелятивистский осточный потенциал. Использованная двухконфигурац. волновая ф-ция правильно описывает диссоциацию димеров. По этой же методике проведены расчеты мономеров, к-рые с хорошей точностью воспроизвели равновесные расстояния, частоты колебаний и энергии диссоциации. Показано, что оба рассмотренных димера должны иметь линейное

строение, при этом мономеры связаны атомами ртути, между к-рыми найдена достаточно сильная ковалентная связь. Димеризация по типу «хвост к голове» менее предпочтительна из-за незначит. электростатич. взаимодействия. Согласно расчетам возможно существование димера Hg_2Cl_2 в газовой фазе. Найдено, что оптим. длины связей $Hg-X$ должны быть по сравнению с тв. состоянием несколько укороченными (на

~0,2 Å). Устойчивость димеров к р-ции диспропорционирования различна: хлорид примерно на 0,6 эВ устойчивее, чем $Hg+HgCl_2$, а для фторида получены примерно одинаковые значения. Отмечено, что уточненные расчеты по методу улучшенных виртуальных орбиталей для энергий возбуждения в низколежащие состояния обоих димеров свидетельствуют о том, что если хлорид существует в газовой фазе, то в области 200—250 нм должны существовать заметные спектроскопич. особенности, по к-рым димер Hg_2Cl_2 можно отличить от Hg_2F_2 .

С. Долин



mercurous
complexes.

(+)

0.4.1980. 99/124

OMMULAK 10546

1980

93: 225963m Molecular structure of mercurous halides: mercurous fluoride and mercurous chloride. Kleier, Daniel A.; Wadt, Williard R. (Theor. Div., Los Alamos Sci. Lab., Los Alamos, NM 87545 USA). *J. Am. Chem. Soc.* 1980, 102(23), 6909-13 (Eng). Ab initio generalized valence bond calcns. using effective core potentials are presented for the ground state of $(HgF)_2$ and $(HgCl)_2$. Extensive calcns. are also reported for HgF and compared with previous literature results for $HgCl$. In spite of the polar nature of the $Hg-X$ bond in the monomer, which would favor a head-to-tail orientation of the dipoles in the dimer, a moderately strong covalent bond between the mercury atoms dictates a linear structure ($X-Hg-Hg-X$) for both fluoride and chloride. Comparison with solid-state data suggests that the $Hg-X$ bonds shorten upon entering the gas phase. Stability toward disproportionation is problematical. Simple calcns. predict the chloride to be about 0.6 eV more stable than $Hg + HgCl_2$, while the disproportionation of Hg_2F_2 is predicted to be nearly thermoneutral. Improved calcns. shed some doubt on the stability of Hg_2Cl_2 . An improved virtual orbital calcn. was performed to est. where spectral evidence for the existence of Hg_2Cl_2 in the gas phase might be found.

1980

исслед

HgX

(+2к) —

исс

проц

и гашение

Hg

18 Б862. Столкновительное тушение HgX^* ($B^2\Sigma_{1/2}$) ($X=Cl, Br, J$) и HgJ ($C^2\Pi_{1/2}$). Collisional quenching of HgX^* ($B^2\Sigma_{1/2}$), ($X=Cl, Br, J$) and HgJ^* ($C^2\Pi_{1/2}$). Mandl A., Parks J. H., Roxlo R. «Proc. Int. Conf. Lasers'79, Orlando, Fla, 17—21 Dec., 1979». McLean, Va, 1980, 828—835 (англ.)

Изучение импульсной ксеноновой лампы использовано для получения возбужденных молекул моногалогенов ртути в процессе $hv + HgX \rightarrow HgX^* + X$, где $X=Cl, Br, J$. Исследовано тушение этих молекул при столкновениях с He, Ne, Ar, Xe и N₂. Суммарная интенсивность флуоресценции состояний $HgJ(B)$ и (C) не зависит от давл. газа вплоть до 300 Торр, что связано с величиной отношения эффективностей каналов тушения состояния C в состояние B не <0,95. Модифицированным методом Штерна—Фольмера определены скорости тушения HgX^* . Для $HgBr^*$ и $HgJ^*(B)$ скорость су-

ж. 1983, 19, N 18

шения линейно зависит от давл. Хе. Тушение $HgCl^*$ протекает как трехтельный процесс. Для $HgJ^*(C)$ обнаружена линейная зависимость для всех исследованных газов—тушителей. Измерены величины произведений констант скорости на время жизни. Показано, что скорости тушения имеют порядок газокинетических.

Л. Ю. Русин



Hg - HCl

1983

4 Л139. Вращательные спектроскопические постоянные ван-дер-ваальсовских комплексов ртуть—хлористый водород. Rotational spectroscopic constants and structure of the mercury—hydrogen chloride van der Waals complex. Campbell E. J., Shea J. A. «J. Chem. Phys.», 1983, 79, № 8, 4082—4083 (англ.)

С помощью нового метода импульсной микроволновой спектроскопии с преобразованием Фурье (Balle T. J. et al. «Rev. Sci. Instrum.», 1981, 52, 33) выполнены с высоким разрешением измерения спектров вращательных переходов 9 изотопич. модификаций ван-дер-ваальсовских комплексов $\text{Hg}-\text{HCl}$. В спектрах разрешена сверхтонкая структура вращательных полос. В результате анализа полученных спектров определены вращательные постоянные комплексов $^{202}\text{HgH}^{35}\text{Cl}$ и $^{202}\text{HgH}^{37}\text{Cl}$ в основном состоянии: $\bar{B}_0(35) = 998,0064(2)$, $D_J(35) = 0,003687(1)$, $\bar{B}_0(37) = 953,0469(8)$, $D_J(37) = 0,003375(6)$, а также постоянные ядерного квадрупольного взаимодействия для изотопов ^{35}Cl и ^{37}Cl : $\chi_{aa}(35) = -40,350(94)$ и $\chi_{aa}(37) = -31,894440$ (все значения в единицах МГц).

В. А. Е.

М-1, геометр.
структур

ср. 1984, 18,
НЧ

Hg - HCl

1983

8 Б1229. Вращательные спектроскопические постоянные и структура вандерваальсового комплекса ртуть — хлористый водород. Rotational spectroscopic constants and structure of the mercury — hydrogen chloride van der Waals complex. Campbell E. J., Shea J. A. «J. Chem. Phys.», 1983, 79, № 8, 4082—4083 (англ.)

На импульсном МВ-фурье-спектрометре с резонатором Фабри — Перо измерены вращательные спектры девяти изотопич. образцов слабосвязанного ван-дер-ваальсового молек. комплекса ртуть — хлористый водород. Для всех образцов идентифицирован 21 переход R -ветвей с разрешенной СТС. Для комплексов ^{198}Hg , ^{199}Hg , ^{200}Hg , ^{202}Hg и ^{204}Hg с H^{35}Cl измерены переходы $J=5\rightarrow6$, $6\rightarrow7$ и $7\rightarrow8$, для комплексов ^{200}Hg и ^{202}Hg с H^{37}Cl измерены переходы $J=6\rightarrow7$ и $7\rightarrow8$ и для комплексов ^{198}Hg и ^{199}Hg с H^{37}Cl измерен переход $J=6\rightarrow7$. Анализ спектров выполнен с использованием гамильтон-

*М.Л. Челышев,
структура*

X. 1984, 19, № 8

ниана для модели симм. волчка с учетом квартичного центробежного искажения и квадрупольного взаимодействия. Для $^{202}\text{Hg}-\text{H}^{35}\text{Cl}$ и $^{202}\text{Hg}-\text{H}^{37}\text{Cl}$, соотв., определены вращательные постоянные $B^0=998,0064(2)$ и $953,0469(8)$ МГц, постоянные центробежного искажения $D_J=0,003697(1)$ и $0,003375(6)$ МГц и постоянные Cl-ядерного квадрупольного взаимодействия $\chi_{aa}=-40,350(94)$ и $-31,894(400)$ МГц. Полученные данные согласуются со структурой комплекса с расстоянием между тяжелыми атомами $4,097$ Å и углом между осью HCl и осью центра масс комплекса 31° . Для эффективного ван-дер-ваальсового радиуса ртути в комплексе получена эксперим. оценка $1,99$ Å, что на $0,2-0,3$ Å ниже расчетного значения. Полученные спектроскопич. результаты согласуются с данными для родственных комплексов.

С. Н. Мурзин

Галогениды Hg

1983

5 Д231. Интерпретация спектров хемилюминесценции ($B^2\Sigma^+ - X^2\Sigma^+$) галогенидов ртути, образованных в результате дезактивации $Hg(^3P_2)$ галогеносодержащими молекулами. Interpretations of the mercury halide ($B^2\Sigma^+ - X^2\Sigma^+$) chemiluminescence from reactive quenching of $Hg(^3P_2)$ by halogen containing molecules. Dreibling T. D., Setser D. W. «J. Chem. Phys.», 1983, 79, № 11, 5423—5438 (англ.)

Изучены спектры $HgZ(B^2\Sigma^+ - X^2\Sigma^+)$, где Z — атом галогена, образованного в результате реакций

k_{RZ}

$Hg(^3P_2) + RZ \rightarrow HgZ(B) + R$, где RZ — галогеносодержащая молекула. Метастабильные атомы $Hg(^3P_2)$ генерировались в проточном тлеющем разряде, на некотором удалении от которого вводились реагенты RZ : Cl_2 ; Br_2 ; CH_nCl_m , CH_nBr_m , $n+m=4$; CBr_4 ; J_2 ; $C_2H_2J_2$; CF_3J ; F_2 ; NF_3 ; N_2F_4 ; SO_2F_2 ; SO_2Cl_2 ; $SOCl_2$ и S_2Cl_2 . Получены абсолютные значения констант скоростей k_{RZ} образования $HgZ(B)$ при участии RZ исходя из известного значения k_{Cl_2} . В случае молекул Z_2

СЛЕДУЮЩИЙ
 $B^2\Sigma^+ - X^2\Sigma^+$

ср. 1984, 18,
N 5

величины k_{Z_2} максимальны, тогда как для остальных молекул отношение k_{RZ}/k_{Z_2} несколько больше 0,1 только для CF_3J , CCl_4 , SOCl_2 и NF_3 . Из сопоставления с известными данными по реакциям $\text{Ca}({}^1\text{P}_1) + \text{Cl}_2$ и $\text{Xe}({}^3\text{P}_2) + \text{BrJ}$ делается вывод о том, что оба потенциала, $V(\text{Hg}^+; X_2^-, {}^2\Sigma_u^+)$ и $V(\text{Hg}^+; X_2^-, {}^2\Pi_g)$, могут описывать путь реакции в зависимости от геометрии столкновения. При расчете спектров хемилюминесценции в случае молекул Z_2 предполагалась возможность образования продукта Z в двух электронных состояниях: ${}^2P_{1/2}$ и ${}^2P_{3/2}$, что объясняет бимодальность колебательного распределения $\text{HgZ}(B)$. Определены средние относительные колебательные энергии $\langle E_v \rangle / E_{v\max}$; отмечаются их систематически более низкие значения сравнительно с рядом из аналогичных реакций для XeZ а также убывание $\langle E_v \rangle / E_{v\max}$ для ряда HgZ , как в ряду XeZ , где $Z = \text{Cl}, \text{Br}, \text{J}$. Колебательные распределения, полученные для других RZ , сопоставляются с известными результатами для аналогичных реакций с участием атомов щелочноземельных металлов.

Г. А. Вомпе

HgX

X-220004

1983

100: 42237w Interpretations of the mercury halide ($B^2\Sigma^+$ - $X^2\Sigma^+$) chemiluminescence from reactive quenching of atomic mercury (3P_2) by halogen containing molecules. Dreiling, T. D.; Setser, D. W. (Dep. Chem., Kansas State Univ., Manhattan, KS 66506 USA). *J. Chem. Phys.* 1983, 79(11), 5423-38 (Eng). The HgX/ $B^2\Sigma^+$ - $X^2\Sigma^+$ (X = halogen) emission spectra were recorded from Hg(3P_2) atom reactions with several halogen-contg. mols. using a flowing afterglow reactor. The HgX• emission intensities were compared with the HgCl• emission intensity from Hg(3P_2) + Cl₂ to assign rate consts. for HgX(B) formation. The Hg(3P_2) + diat. halogen reactions have large $k_{HgX\bullet}$ and their branching fractions for HgX(B) formation are probably unity. The polyat. reagents generally gave much smaller $k_{HgX\bullet}$; although, a few moderately good donors, e.g., CF₃I, CBr₄, CCl₄, and NF₃ were identified. The exptl spectra were numerically simulated to assign HgX(B) vibrational energy distributions. A decrease in $\langle f(v(HgX)) \rangle$ was found for the Cl₂, Br₂, I₂ series which is analogous to previous findings for $\langle f(v(XeX)) \rangle$ from reactive quenching of Xe(3P_2). Possible reasons for the similarity are discussed. The HgX(B) vibrational energy disposal for polyat. reagents was compared to analogous data for reactions of alk. earth metal atoms and Xe(3P_2).

(CREW)
 $B^2\Sigma^+ - X^2\Sigma^+$

C.A. 1984, 100, N 6

Галогениды Hg

1983

5 Д232. Колебательные распределения галогенидов ртути HgZ в $B(^2\Sigma^+)$ -состоянии, образованных в результате диссоциативного возбуждения молекул $RHgZ$ в реакциях с $Xe(^3P_2)$ и $N_2(A, ^3\Sigma_u^+)$. Mercury halide $B(^2\Sigma^+)$ vibrational distributions from dissociative excitation reactions of Hg halides with $Xe(^3P_2)$ and $N_2(A, ^3\Sigma_u^+)$. Dreiling T. D., Setser D. W. «J. Chem. Phys.», 1983, 79, № 11, 5439—5444 (англ.)

Исследованы спектры излучения HgZ , в образовавшихся реакциях $N_2(A, ^3\Sigma_u^+)$ или $Xe(^3P_2) + RHgZ \rightarrow HgZ(B, ^2\Sigma^+ - X, ^2\Sigma^+) + R$, где $Z = Cl, Br, I$ и $R = CH_3$ или Z . Метастабили N_2^* и Xe^* генерировались в проточном тлеющем разряде, на некотором удалении от которого в поток вводились реагенты $RHgZ$ и производилась регистрация излучения. Полученные спектры $HgZ(B)$ сравнивались с расчетными с целью оценки колебательного распределения N_v . Сопоставле-

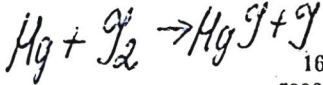
спектр

сф. 1984, 18, N5

ние показывает, что в случае исходных молекул CH_3HgZ распределение N_v является больцмановским с т-рами: 9000 К (Cl), 5000 К (Br), 3000 К (J) для реакций с Xe^* и 2000 К (Br)) и 1000 К (J) для реакций с N_2^+ . В случае исходных молекул типа HgZ_2 наилучшее описание спектров достигается в результате представления N_v в виде линейной комбинации больцмановского и вспомогательного, $N_{Bv} \approx (1 - E_v/E_{v\max})^{3/2} \cdot \exp(-\lambda E_v/E_{v\max})$, распределений, где $E_{v\max}$ энергия наивысшего наблюдаемого колебательного уровня HgZ(B) . В этих случаях заселенности высших колебательных состояний оказываются существенно обогащенными сравнительно с больцмановскими, тогда как средние $\langle E_v \rangle$ только немногим больше соответствующих значений для случая реакций с RHgZ , содержащих CH_3 . Полученные колебательные распределения использованы для обсуждения механизма реакции для заданных начального и конечного состояний реагентов.

Г. А. Вомпе





1983

16 Б964. Пересмотр реакции $\text{Hg} + \text{J}_2 \rightarrow \text{HgJ} + \text{J}$. The reaction $\text{Hg} + \text{J}_2 \rightarrow \text{HgJ} + \text{J}$ revisited. Orysko M. M., Aoiz F. J., McMahan M. A., Bernstein R. B. «J. Chem. Phys.», 1983, 78, № 6, Pt 2, 3816—3831. (англ.)

Исследование р-ции $\text{Hg} + \text{J}_2 \rightarrow \text{HgJ} + \text{J}$ (1) в скрещенных молек. пучках, проведенное в работе (Mayeg T. M., Nilkoub B. E., Bernstaix R. B., «J. Chem. Phys.», 1977, 67, 3507) показало, что порог р-ции составляет 1,15 эВ и в области энергий от пороговых до 1,50 эВ р-ция протекает через долгоживущий промежуточный комплекс (ДПК). С увеличением энергии взаимодействия время жизни комплекса уменьшается до равного или меньшего по порядку величины периоду вращения молекулы, что сопровождается сильной асимметрией углового распределения продуктов. Однако при энергии $> 2,2$ эВ обнаружено увеличение симметрии рассеяния, что оказалось невозможным объяснить с точки зрения динамики р-ции, протекающей через ДПК. Повторное исследование предпринято для установления механизма элементарного хим. процесса в более широком диапазоне энергий взаимодействия. Использовали газодина-

макроскопические
скрещенные
молекул. пучки

X. 1983, 19,
N/6

мич. пучок J_2 и эффиузионный пучок Hg , что существенно изменило кинематику столкновений по сравнению с имеющейся ранее и расширило диапазон энергий взаимодействия до 3,75 эВ. Измеренные интервалы энергий 1,04—3,75 эВ угловые распределения показывают, что при низких энергиях существует только один максимум. При энергиях $> 1,6$ эВ возникает плечо со стороны малых углов, к-рое наиболее отчетливо проявляется при энергии 2,16 эВ и по мере увеличения энергии исчезает. Анализ кинематич. условий рассеяния показал, что обнаруженное плечо на кривой углового распределения возникает из-за рассеяния вперед, тогда как основной максимум обусловлен рассеянием назад. Отношение интенсивности рассеяния вперед и назад резко возрастает, начиная с энергии 2,2 эВ. Точное определение пороговой энергии дало величину $E_0 = 1,18 \pm 0,03$ эВ и зависимость полного сечения р-ции от энергии взаимодействия проходит через максимум при $E_t = 2,7$ эВ. Р-ция при энергиях от пороговой до 1,5 эВ протекает через ДПК. Начиная с $E_t = 1,5$ до 2,2 эВ существенный вклад в угловое распределение вносит образование маложивущего столкновительного комплекса и при увеличении энергии до 2,2 эВ, с этим механизмом начинает конкурировать прямой рикошетный механизм, к-рый при энергиях выше 3,2 эВ становится основным. Р-ция не обладает сколько-нибудь заметным барьером кроме термохим. и Пв. потенциальной энергии имеет барьер $\sim 0,7$ эВ во входном канале только при перпендикулярном столкновении атома с молекулой. Для коллинеарного взаимодействия такого барьера не существует. Л. Ю. Русин

АгХ
Х-галоген

1983

7 Л327. Спектры разряда и кинетика процессов в галогенидах ртути. Discharge spectra of mercuric halides and their kinetic processes. Yu Yaojin, Jiang Aibao, Zhang Jilin, Han Shaoqin. «Чжунго цзигуан, Chin. J. Laser», 1983, 10, № 11, 774—777 (кит.; рез. англ.)

Исследованы спектры и кинетика разряда в смесях галогенидов ртути с Ne, N₂, Xe. Показано, что спектры излучения галогенидов ртути ($B^2\Sigma_u^+ \rightarrow X^2\Sigma_u^+$) связаны с возбуждением электронным ударом, пенниговскими реакциями и возбуждением при столкновении.

А. В. Головин

cb. 1984, 18, № 7

1984

HgHCl
HgDCl

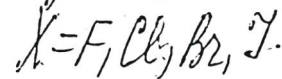
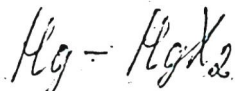
grauam-
chenko,
cmnykrypa

102: 86779v The rotational spectra, molecular structures, and mercury-201 nuclear quadrupole coupling constants of mercury hydrogen chloride (HgHCl) and mercury deuterium chloride (HgDCl). Shea, J. A.; Campbell, E. J. (Polym. Prod. Dep., E. I. du Pont de Nemours and Co. (Inc.), Wilmington, DE 19809 USA). *J. Chem. Phys.*, 1984, 81(12), 5326-35 (Eng). High-resoln. rotational spectra of 16 isotopic species of the gas-phase van der Waals complex HgHCl (I) were measured using pulsed Fourier-transform microwave spectroscopy carried out in a Fabry-Perot cavity. The Hg-Cl distance is 4.097 Å in I and 4.112 Å in HgDCl , with the acid proton located between the 2 heavy atoms, analogous to the structures of previously studied rare gas-hydrogen halide complexes. Based on this structure, an effective van der Waals radius of 1.99 Å for Hg in I was detd. ^{201}Hg nuclear quadrupole coupling consts. were measured for 2 complexes: $\chi^{\text{Hg}}(^{201}\text{HgH}^{35}\text{Cl}) = +5.993(165)$ MHz, and $\chi^{\text{Hg}}(^{201}\text{HgD}^{35}\text{Cl}) = +7.789(165)$ MHz. From these consts., and from a similar measurement for $^{201}\text{HgHC}^{15}\text{N}$, the first exptl. est. was obtained of the Sternheimer shielding const. in the Hg atom $\gamma_s = -47(7)$. Force consts. and normal frequencies for the van der Waals vibrational modes were also calcd. and compared with those of rare gas-HCl complexes.

c. A. 1985, 102, N/10

Kalennick et al
CMONKPCPBPBLL

1985



103: 168998a Collision-induced IR absorption in gas phase mercury(6 ³P₁) + mercuric bromide(1 ¹S_{K+}) reactions: Enhancement of the mercury bromide radical (HgBr(B ²S₊) product channel. Helvajian, H.; Marquardt, C. L. (Nav. Res. Lab., Washington, DC 20375 USA). *J. Chem. Phys.* 1985, 83(7), 3334-9 (Eng). Laser-assisted reactions in Hg/HgBr₂ gas mixts. were investigated by measuring fluorescence from the product, HgBr radical, following simultaneous IR (1064 nm) and UV (253.7 nm) laser excitation. The product emission has 1-photon dependence on both IR and UV laser power, the results indicate that the excited HgBr product channel is accessed through single-photon absorptions by the {Hg-HgBr₂} complex. This constitutes the 1st exptl. evidence for an electronically excited state of the {Hg-HgBr₂} collision complex, having an energy level >4.9 eV but <6.1 eV. With the addn. of tunable IR lasers, this technique could provide an important spectroscopic method for investigation of the homologous series of collision complexes, {Hg-HgX₂} where (X = F, Cl, Br, I).

C.A: 1985, 103, N20

HgXZ

(M. 21083)

1985.

(X, Z = F, Cl, Br, I) Pardelj A.N.,
Stravch Bohuslav, et al.
X ≠ Z

ces. roceř.,
Gregorčekbāgr. Collect. Czech. Chem.
Commun. 1985, 50(2),
Autoklumygos
Kooperativu.

336-42.
(ces. ZnF₂; III)

AgX_2

[OM. 21083]

1985

$X = \text{F}, \text{Cl}, \text{Br}, \text{I}$

Pandey A.N., Strauch B.,
et al.,

cent.
no monosr.,
epoxylic
annulations
Kontakt.

Collect. Czechosl.
Chem. Commun., 1985,
50, N 2, 336 - 342.

1987

HgX

(X = Cl, Br, I)

10 Л190. Коэффициенты Франка—Кондона галогенидов ртути. Frank—Condon factors of mercury halides.
Rai A. K., Singh V. B. «Indian J. Phys.», 1987, B61,
№ 6, 522—529 (англ.)

УФ-полосы излучения галогенидов ртути (HgX : X = Cl, Br, I) сфотографированы в 3-м порядке 10,6-м спектрографа с дисперсией 0,22 Å/мм и разрешением 500 000. С использованием процедуры МНК определены колебательные и вращательные постоянные для состояний $B-X$, которые использованы при расчете коэф. Франка—Кондона для наблюдаемых полос. Рассчитанные интенсивности полос отлично согласуются с измеренными экспериментально.

В. С. Иванов

М.Н.

Ф. 1988, 18, N 10

HgX

1987

19 Б4349. Эмиссионная спектроскопия смешанных фотодиссоциированных галогенидов ртути. Emission spectroscopy of mixed photo-dissociated mercury halides. Whitehurst C., King T. A. «J. Phys. D: Appl. Phys.», 1987, 20, № 12, 1577—1583 (англ.)

В области 310—580 нм зарегистрированы спектры Фл в переходах $HgX(B^2\Sigma \rightarrow X^2\Sigma)$, где $X = F, Cl, Br, I$, при возбуждении газовых смесей различных HgX_2 при т-рах 160—180°С и полном давл. ~10 Торр светом 193 нм импульсного эксимерного лазера на ArF. Сочетание двух или большего числа галогенидов ртути HgX в оптич. резонаторе лазера, работающего в тех же условиях, что и лазер на индивидуальном галогениде HgX , позволяет осуществлять перестройку лазера в более широком диапазоне рабочих длин волн в видимой спектральной обл. Обсуждаются изменения поглощения лазерного излучения для лазеров с фотохим. и элек-

$(B^2\Sigma \rightarrow X^2\Sigma)$
 $X = F, Cl, Br, I,$
y

Х. 1988, 19, N 19

троразрядной накачкой при использовании смесей галогенидов ртути, связанные с образованием интергалогенных соединений. Для некоторых смесей наблюдали широкую континуумную полосу Фл в обл. 420—560 нм с дополнит. полосой ~340 нм. Эта обл. м. б. разбита на полосы 340—343, 440—445, 493—510 и 533—565 нм, соотв. эмиссии света I_2^* , HgI^* , $HgBr^*$, $HgCl^*$.

Б. Е. Скурат

Dunaverney (DM-30190) 1988

Hg

Hornes J., Sommer K.,
et al.

CREAM

BUCOKAIO

PAPELLES

Phys. Scr. 1988, 37, N5,

694-698.

High Resolution Spectro-
scopy of Atoms and Mo-
lecules Using Synchrotron

Radiation: Atomic Mercury
and Mercury Halides.



HgX

1988

X = Cl, Br, I

(B-X)

109: 82517e Observation of excited state species due to nitrogen (N^+ / N_2^+) and methyl mercury halide (CH_3HgX) ($X = Cl, Br, I$) collisions. Kushawaha, V.; Michael, A.; Mahmood, M. (Phys. Dep., Howard Univ., Washington, DC 20059 USA). *Chem. Phys.* 1988, 122(2), 183-92 (Eng). Emission spectra of $HgX(B-X)$, $CH(A-X)$, $CH(B-X)$ and Hg at. lines were obsd. during collisions of N^+ or N_2^+ ions and CH_3HgX ($X = Cl, Br, I$) mols. in the kinetic energy range of 300-1000 eV. By using the integrated intensities of the strongest bands of the ($A-X$) and ($B-X$) transitions of CH and HgX radicals ($X = Br, I$ resp.), and intense at. lines of Mg due to transitions from various highly excited levels to lower levels, emission cross sections were measured at different lab. kinetic energies of these ions.

C.A. 1988, 109, N 10

RgX₂
(X=Cl, Br, I) 1989
Ma, Zhongxin; Dai,
Shushan.

metals comp., Wuli Huaxue Xuebao
paerem 1989, 5(5), 551-7.

Ab initio study of compo-
unds containing mercury
C.A. 1990, 112, N8, 62879h

using relativistic pseudopotentials - the electronic structures of HgX_2 ($X = \text{Cl}, \text{Br}, \text{I}$)

HgF_2

1990

Francoes

D'Alessio L.,
Bencivenni L., et al.

0830p

THEOCHEM 1990, 66
(3-4), 169 - 76.

M.N.

(crys. ZnF_2 ; II)

CH_3HgF

1990

$\text{F}=\text{F}, \text{Cl}, \text{Br}, \text{I}$

114: 1990b4g Vibrational analysis of methyl mercuric halides and germyl cyanide. Mohan, S.; Prameela, S.; Srinivasen, S. (Rainan Sch. Phys., Pondicherry Univ., Pondicherry, 605 006 India). *Sci. Phys. Sci.* 1990, 2(2), 110-14 (Eng). The present paper reports the vibrational anal. of methylmercuric halides and germyl cyanide. A fresh study on the mol. consts. of the above compds. was carried out using kinetic consts. The evaluated consts. agree well with the literature values. The value of the centrifugal distortion of CH_3HgBr , mol. is in good agreement with the obsd. value, which bears out the significance of the method of kinetic consts. adopted in the work.

Di

⑦ 114. CH_3HgCN

c.A.1991, 114, N20

$[HgX_2Y]^-$ [Om. 36013]

1991

$[HgX_2Y_2]^{2-}$ Griffiths T.R., Ander-

(X=Cl, Br, I. Son R.A.,

Y=Cl, Br)

Trans. Faraday Soc. Chem. Soc. Faraday
Trans. 1991, 87, N11)

1697 - 1705

Electronic spectra 28

Anionic Mixed Halide
Complexes in Solution:

Rgk3 - (OM-36639) 1991

(X=Q,R,
Y) Griffiths T., Anderson R.A.,

Inorg. Chem., 1991, 30, N8,

1912-1918.

REVIEW

CHEMISTRY
WORKS. Electronic Spectra,
Formation Constants,

and geometries of HgX_3^-
in Methanol.